

УДК 539.374

## К ИССЛЕДОВАНИЮ УПРУГОПЛАСТИЧЕСКИХ ВОЛН В СЫПУЧЕЙ СРЕДЕ

О. В. Садовская, В. М. Садовский

Институт вычислительного моделирования СО РАН, 660036 Красноярск

Для описания деформирования материалов с различным сопротивлением растяжению и сжатию традиционная реологическая схема дополняется новым элементом — жестким контактом, с использованием которого строится модель идеально сыпучей среды, обладающей упругими и пластическими свойствами. Разрыхленное состояние среды описывается условием прочности Мизеса — Шлейхера, а переход в пластическое состояние — условием текучести Мизеса. На основе предложенной модели исследуется процесс распространения продольных упругих и пластических ударных волн сжатия. Показано, что в зависимости от интенсивности сжатия и степени начального разрыхления среды реализуется одно- или двухволновая конфигурация разрывов.

**Ключевые слова:** сыпучая среда, упругость, пластичность, ударная адиабата, вариационное неравенство.

**Введение.** Теория сыпучих (гранулированных) материалов — интенсивно развивающаяся область механики. Несмотря на то что одна из первых работ в этой области (работа [1]) опубликована почти сто лет назад, математические модели таких материалов далеки от завершения. В настоящее время существует два класса моделей, соответствующих двум режимам: режиму квазистатического деформирования и режиму быстрых движений. Модели первого класса описывают поведение плотноупакованных сред на основе теории пластического течения с предельным условием Кулона — Мора или Мизеса — Шлейхера. В моделях второго класса рассматриваются разрыхленные среды (ансамбли большого числа взаимодействующих частиц) с точки зрения кинетической теории газов.

Обзор работ по механике быстрых движений гранулированных материалов приведен в [2]. Для исследования квазистатического деформирования разработана теория напряжений в плоских статически определимых задачах, широко применяемая в механике грунтов [3]. Кинематические характеристики в таких задачах определяются на основе ассоциированного закона течения [4]. В [5] предложен неассоциированный закон, более точно описывающий поле скоростей при внедрении жесткого штампа в песок. Недостаток этих подходов заключается в том, что при жесткой разгрузке тензор скоростей деформации оказывается равным нулю, и, следовательно, после разрыхления материал невозможно сжать. Таким образом, кинематические законы применимы только в случае монотонного нагружения.

Уравнения одноосного динамического деформирования идеально сыпучей среды с упругими свойствами исследованы в [6]. Показано, что наряду с разрывами скоростей (ударными волнами) они описывают также разрывы перемещений (разрывы сплошности). В [7] с помощью этих уравнений проведен анализ процесса “сухого кипения” — самопроизвольного появления и схлопывания разрывов сплошности в массиве среды. Феноменологические модели пространственного напряженно-деформированного состояния связных грунтов представлены в [8, 9].

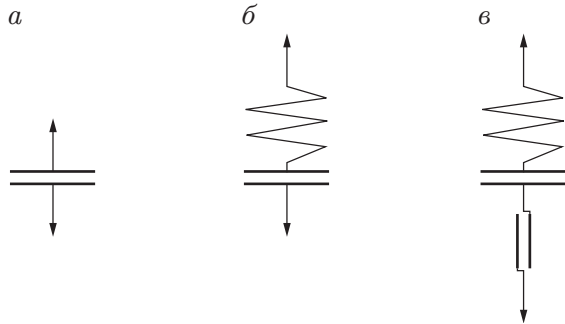


Рис. 1. Реологические схемы сыпучих сред:  
*a* — жесткие гранулы; *б* — упругие гранулы;  
*в* — упругопластические гранулы

В данной работе предлагается геометрически линейная модель пространственного деформирования упругопластической сыпучей среды. В рамках этой модели исследуется процесс распространения продольных ударных волн сжатия. Рассматривается вариант задания механических параметров модели, отличный от описанного в работе [10].

**1. Математическая модель.** Для феноменологического описания материалов с различным сопротивлением растяжению и сжатию традиционную реологическую схему дополним новым элементом — жестким контактом (рис. 1, *a*). При сжимающих напряжениях этот элемент не деформируется. Деформация при напряжении, равном нулю, может быть произвольной положительной величиной. Растягивающие напряжения недопустимы. Схемы на рис. 1, *б*, *в* соответствуют моделям упругой и упругопластической сыпучих сред. При сжатии такие среды находятся в упругом или пластическом состоянии, а при растяжении напряжения оказываются равными нулю.

Комбинируя жесткий контакт с упругим, пластическим и вязким элементами, можно строить реологические модели более сложных сред.

Математическая модель жесткого контакта (идеально сыпучей среды с жесткими гранулами) сводится к системе соотношений

$$\sigma \leq 0, \quad \varepsilon \geq 0, \quad \sigma\varepsilon = 0,$$

где  $\sigma$  — напряжение;  $\varepsilon$  — деформация. В соответствии с этой моделью при одноосном деформировании среды возможны только два состояния: уплотнение, когда  $\sigma < 0, \varepsilon = 0$ , и разрыхление, когда  $\varepsilon > 0, \sigma = 0$ .

Модель можно также представить в виде вариационных неравенств

$$\sigma(\tilde{\varepsilon} - \varepsilon) \leq 0, \quad \varepsilon \geq 0, \quad \tilde{\varepsilon} \geq 0, \quad (\tilde{\sigma} - \sigma)\varepsilon \leq 0, \quad \sigma \leq 0, \quad \tilde{\sigma} \leq 0$$

( $\tilde{\sigma}, \tilde{\varepsilon}$  — произвольные варьируемые величины), каждое из которых допускает потенциальное представление

$$\sigma \in \partial\varphi(\varepsilon), \quad \varepsilon \in \partial\psi(\sigma). \tag{1.1}$$

Здесь потенциалы напряжений и деформаций  $\varphi, \psi$  — индикаторные функции, равные нулю на конусах  $C = \{\varepsilon \geq 0\}$  и  $K = \{\sigma \leq 0\}$  соответственно и равные бесконечности вне этих конусов. Эти функции в дальнейшем обозначаются  $\delta_C(\varepsilon)$  и  $\delta_K(\sigma)$ . Символ  $\partial$  используется для обозначения субдифференциала

$$\partial\varphi(\varepsilon) = \{\sigma \mid \varphi(\tilde{\varepsilon}) - \varphi(\varepsilon) \geq \sigma(\tilde{\varepsilon} - \varepsilon) \quad \forall \tilde{\varepsilon}\},$$

представляющего собой множество угловых коэффициентов линейных функций, графики которых проходят через точку  $(\varepsilon, \varphi(\varepsilon))$  и лежат ниже графика функции  $\varphi$ .

Использование в данной работе понятия субдифференциала, представляющего собой обобщение понятия производной, связано с тем, что введенные потенциалы не являются дифференцируемыми функциями. Такая же ситуация характерна для моделей теории

пластичности, где в терминах субдифференциалов формулируется ассоциированный закон течения [11]. Однако в отличие от теории пластичности в рассматриваемом случае соотношения (1.1) представляют собой нелинейный закон Гука и описывают, таким образом, бездиссипативный механизм деформирования.

Обобщение модели жесткого контакта на случай пространственного напряженно-деформированного состояния строится на основе включений (1.1). Для этого необходимо задать выпуклый конус  $C$  в пространстве тензоров деформаций или конус  $K$  в пространстве тензоров напряжений. Если один из конусов известен, то второй находится как сопряженный:

$$K = \{\sigma \mid \sigma : \varepsilon \leq 0 \quad \forall \varepsilon \in C\}, \quad C = \{\varepsilon \mid \sigma : \varepsilon \leq 0 \quad \forall \sigma \in K\}$$

(двоеточие означает операцию свертки тензоров). Соответствующие потенциалы — индикаторные функции конусов  $C$  и  $K$  — являются двойственными, т. е. определяются друг через друга с помощью преобразования Юнга

$$\varphi(\varepsilon) = \sup_{\sigma} \{\sigma : \varepsilon - \psi(\sigma)\}, \quad \psi(\sigma) = \sup_{\varepsilon} \{\sigma : \varepsilon - \varphi(\varepsilon)\}.$$

Известные экспериментальные данные о деформационных свойствах плотных песков подтверждают гипотезу об упругом состоянии среды при напряжениях, близких к гидростатическому сжатию. Такие напряжения являются внутренними точками конуса  $K$ . Для упругой сыпучей среды (рис. 1,б)  $\psi(\sigma) = \sigma : a : \sigma/2 + \delta_K(\sigma)$  ( $a$  — тензор модулей упругой податливости четвертого ранга, соответствующий модели упругого элемента). Определяющие соотношения (1.1) приводятся к неравенству Хаара и Кармана [1]

$$(\tilde{\sigma} - \sigma) : (a : \sigma - \varepsilon) \geq 0, \quad \sigma, \tilde{\sigma} \in K. \quad (1.2)$$

Учитывая симметрию и положительную определенность тензора  $a$ , можно показать, что решением неравенства (1.2) является тензор напряжений  $\sigma = s^\pi$ , равный проекции на  $K$  по норме  $|\sigma|_a = \sqrt{\sigma : a : \sigma}$  тензора условных напряжений  $s$ , определяемого из линейного закона Гука  $a : s = \varepsilon$ .

Предположим, что конус  $K$  задан в виде  $f_i(\sigma) \leq 0$  ( $i = 1, \dots, m$ ), где  $f_i$  — выпуклые дифференцируемые функции. Тогда по теореме Куна — Таккера [12] задача определения проекции эквивалентна задаче нахождения седловой точки лагранжиана

$$L(\sigma, \lambda) = \frac{1}{2} |\sigma - s|_a^2 + \sum_{i=1}^m \lambda_i f_i(\sigma), \quad \lambda_i \geq 0.$$

В этом случае выполняется система уравнений

$$a : (\sigma - s) + \sum_{i=1}^m \lambda_i \frac{\partial f_i(\sigma)}{\partial \sigma} = 0, \quad \lambda_i f_i(\sigma) = 0. \quad (1.3)$$

Для упругопластической сыпучей среды (рис. 1,в) тензор деформации разлагается на сумму упругой и пластической составляющих:  $\varepsilon = \varepsilon^e + \varepsilon^p$ . Тензор упругой деформации подчиняется неравенству (1.2), учитывающему возможное разрыхление среды. Тензор скоростей пластической деформации удовлетворяет определяющим соотношениям теории течения [13]

$$\sigma \in \partial \eta(\dot{\varepsilon}^p). \quad (1.4)$$

Здесь  $\eta$  — диссипативный потенциал напряжений, представляющий собой положительно-однородную выпуклую функцию скоростей деформации. Однородность потенциала является следствием независимости процесса пластического деформирования от масштаба времени. В силу этого свойства двойственный потенциал  $\chi(\sigma)$  — преобразование Юнга функции  $\eta(\dot{\varepsilon})$  — равен индикаторной функции выпуклого множества

$$F = \{\sigma \mid \sigma : \dot{\varepsilon} \leq \eta(\dot{\varepsilon}) \quad \forall \dot{\varepsilon}\}.$$

Граница  $F$  в пространстве напряжений представляет собой поверхность текучести материала.

Соотношения (1.4) представимы в эквивалентной форме  $\dot{\varepsilon}^p \in \partial\chi(\sigma)$ , приводящей к неравенству Мизеса

$$(\tilde{\sigma} - \sigma) : \dot{\varepsilon}^p \leq 0, \quad \sigma, \tilde{\sigma} \in F. \quad (1.5)$$

Если множество  $F$  является цилиндром с осью гидростатических напряжений, то объемная деформация среды происходит по линейно-упругому закону. В противном случае модель описывает необратимое объемное уплотнение среды. В общем случае множество  $F$  параметризуется в виде  $g_j(\sigma) \leq 0$  ( $j = 1, \dots, n$ ), где  $g_j$  — дифференцируемые выпуклые функции, и выполняется ассоциированный закон течения

$$\dot{\varepsilon}^p = \sum_{j=1}^n \lambda_j \frac{\partial g_j(\sigma)}{\partial \sigma}, \quad \lambda_j g_j(\sigma) = 0, \quad \lambda_j \geq 0,$$

полученный из (1.5) с использованием теоремы Куна — Таккера.

Неравенство (1.2) для  $\varepsilon^e$  и неравенство (1.5) совместно с уравнениями движения и кинематическими уравнениями

$$\rho \dot{\mathbf{v}} = \nabla \cdot \boldsymbol{\sigma}, \quad 2\dot{\boldsymbol{\varepsilon}} = \nabla \mathbf{v} + (\nabla \mathbf{v})^*$$

образуют замкнутую модель, описывающую динамику сыпучей среды. Здесь  $\rho$  — плотность;  $\mathbf{v}$  — вектор скорости;  $\nabla$  — вектор-градиент; звездочка означает транспонирование тензора.

Рассмотрим изотропную сыпучую среду, упругие свойства которой характеризуются модулем объемного сжатия  $k$  и модулем сдвига  $\mu$ . Множество  $F$  аппроксимируем цилиндром Мизеса

$$F = \{\sigma \mid \tau(\sigma) \leq \tau_s\},$$

где  $\tau(\sigma) = \sqrt{\sigma' : \sigma' / 2}$  — интенсивность касательных напряжений; величина со штрихом — девиатор тензора;  $\tau_s$  — предел текучести гранул. Для описания допустимых напряжений используем круговой конус Мизеса — Шлейхера

$$K = \{\sigma \mid \tau(\sigma) \leq \varkappa p(\sigma)\}.$$

Здесь  $p(\sigma)$  — гидростатическое давление;  $\varkappa$  — коэффициент внутреннего трения. Уравнения (1.3) для определения тензора напряжений  $\sigma$  через тензор условных напряжений  $s$  в упругой среде принимают вид

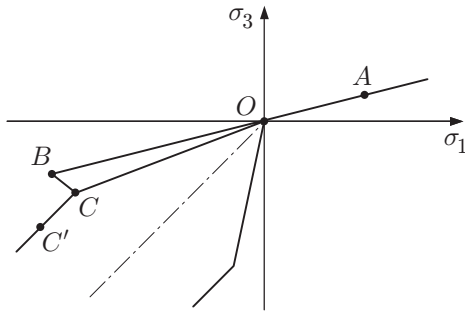
$$\sigma' = s' - \lambda \mu \sigma' / (\varkappa p(\sigma)), \quad p(\sigma) = p(s) + \lambda \varkappa k, \quad \lambda(\tau(\sigma) - \varkappa p(\sigma)) = 0.$$

Поэтому возможны три случая. Если  $\tau(s) \leq \varkappa p(s)$ , то  $\sigma = s$ . Если  $\tau(s) > \varkappa p(s)$  и  $\mu p(s) + \varkappa k \tau(s) \leq 0$ , то  $\sigma = 0$ . В этом случае проекцией  $s$  является вершина конуса  $K$ . Если  $\tau(s) > \varkappa p(s)$  и  $\mu p(s) + \varkappa k \tau(s) > 0$ , то проекция  $s$  принадлежит конической поверхности и определяется по формулам

$$\sigma' = \frac{\varkappa p(\sigma)}{\tau(s)} s', \quad p(\sigma) = \frac{\mu p(s) + \varkappa k \tau(s)}{\mu + \varkappa^2 k}. \quad (1.6)$$

**2. Упругопластические волны.** Рассмотрим плоскую продольную ударную волну, распространяющуюся в бесконечном массиве сыпучей среды в направлении оси  $x_1$  декартовой системы координат. Будем считать, что амплитуда волны достаточно мала. Тогда на ее фронте выполняются линейные уравнения динамической и кинематической совместности [14]

$$\rho c[v_1] = -[\sigma_1], \quad c[\varepsilon_1] = -[v_1], \quad (2.1)$$

Рис. 2. Траектории напряжений  $s$  и  $\sigma$ 

где  $c$  — скорость распространения волны;  $v_1$  — массовая скорость частиц;  $\sigma_1, \sigma_2 = \sigma_3, \varepsilon_1$  — отличные от нуля компоненты тензоров напряжений и деформаций; квадратные скобки означают скачок функции на разрыве. Для замыкания системы (2.1) к ней необходимо добавить уравнение, связывающее  $\sigma_1$  и  $\varepsilon_1$ . В результате уравнение ударной адиабаты — кривой допустимых ударно-волновых переходов из фиксированного состояния  $(\varepsilon_1^0, v_1^0)$  перед фронтом волны в состояние  $(\varepsilon_1, v_1)$  за фронтом — принимает следующий вид:

$$\rho(v_1 - v_1^0)^2 = (\sigma_1 - \sigma_1^0)(\varepsilon_1 - \varepsilon_1^0). \quad (2.2)$$

Решение уравнения  $\sigma_1 = \sigma_1(\varepsilon_1)$  зависит от знака деформации и характера деформации (упругое или упругопластическое нагружение, разгрузка).

Считая  $\varepsilon_1$  параметром, построим траектории напряжений  $s(\varepsilon_1)$  и  $\sigma(\varepsilon_1)$  на плоскости  $(\sigma_1, \sigma_3)$ . Случай, когда коэффициент внутреннего трения находится в диапазоне  $[2\mu/(\sqrt{3}k), \sqrt{3}/2]$ , рассмотрен в [10]. В данной работе исследуем более интересный случай  $\varkappa < 2\mu/(\sqrt{3}k)$ ,  $\varkappa \leq \sqrt{3}/2$ . Расположение прямой  $AB$  одноосного упругого деформирования по отношению к конусу Мизеса — Шлейхера и цилиндру Мизеса для этого случая представлено на рис. 2. Среда с такими характеристиками при одноосном сжатии всегда находится в предельном состоянии.

При разрыхлении среды ( $\varepsilon_1 > 0$ ) условные напряжения  $s_1, s_3$  равны

$$s_1 = (k + 4\mu/3)\varepsilon_1, \quad s_3 = (k - 2\mu/3)\varepsilon_1, \quad (2.3)$$

а действительные напряжения  $\sigma_1, \sigma_3$  — проекции условных напряжений на конус — равны нулю. При сжатии в диапазоне  $\varepsilon_1^B \leq \varepsilon_1 \leq 0$ , где  $\varepsilon_1^B = -\tau_s/(\varkappa h)$ , траектория условных напряжений по-прежнему задается уравнениями (2.3), а действительные напряжения в силу (1.6) имеют вид

$$\sigma_1 = \left(1 + \frac{2\varkappa}{\sqrt{3}}\right)h\varepsilon_1, \quad \sigma_3 = \left(1 - \frac{\varkappa}{\sqrt{3}}\right)h\varepsilon_1, \quad h = \frac{1 + 2\varkappa/\sqrt{3}}{1 + \varkappa^2 k/\mu} k.$$

Переходу в пластическое состояние соответствует точка  $B$  на рис. 2. В этой точке среда перестает сопротивляться сдвигу, и для восстановления несущей способности требуется дополнительное уплотнение. Такому уплотнению соответствует отрезок  $BC$  при неизменных напряжениях со скачком деформации

$$\Delta\varepsilon_1 = \varepsilon_1^B - \varepsilon_1^C = \frac{2/\sqrt{3} - \varkappa k/\mu}{1 + 2\varkappa/\sqrt{3}} \frac{\tau_s}{k},$$

где  $\varepsilon_1^C = -\tau_s/(\varkappa k)$ . Параметрические уравнения прямой  $BC$  имеют вид

$$s_1 = \left(k - \frac{2\mu}{\sqrt{3}\varkappa}\right)\varepsilon_1 - \frac{2\tau_s}{\sqrt{3}}\left(1 + \frac{\mu}{\varkappa^2 k}\right), \quad s_3 = \left(k + \frac{\mu}{\sqrt{3}\varkappa}\right)\varepsilon_1 + \frac{\tau_s}{\sqrt{3}}\left(1 + \frac{\mu}{\varkappa^2 k}\right).$$

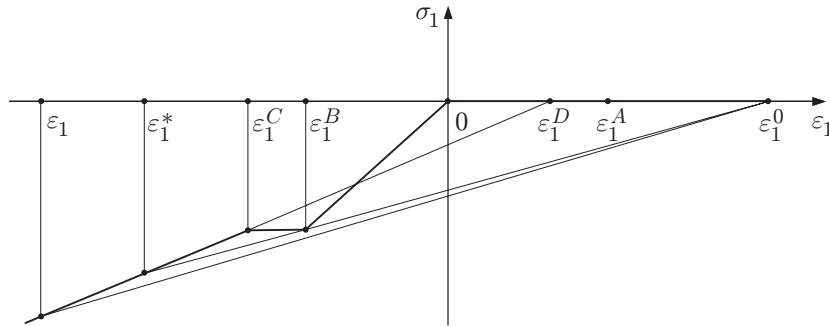


Рис. 3. Зависимость  $\sigma_1$  от  $\epsilon_1$

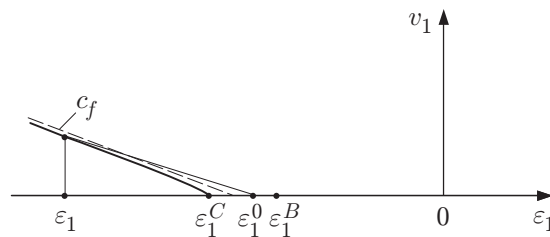


Рис. 4. Ударная адиабата при  $\epsilon_1^C < \epsilon_1^0 < \epsilon_1^B$

Интервалу  $\epsilon_1 < \epsilon_1^C$  соответствует пластический процесс сжатия (луч  $CC'$ ). На этом интервале напряжения  $\sigma = s$  выражаются формулами

$$\sigma_1 = s_1 = k\epsilon_1 - 2\tau_s/\sqrt{3}, \quad \sigma_3 = s_3 = k\epsilon_1 + \tau_s/\sqrt{3}.$$

Итак, траекторией  $s(\epsilon_1)$  является ломаная  $ABCC'$ , а траекторией  $\sigma(\epsilon_1)$  — ломаная  $OCC'$ . График функции  $\sigma_1(\epsilon_1)$  приведен на рис. 3.

Будем рассматривать только волны, движущиеся в положительном направлении оси  $x_1$ , для которых  $c > 0$ . Считая  $v_1^0 = 0$ , построим ударные адиабаты волн сжатия ( $\epsilon_1 < \epsilon_1^0$ ).

Если перед фронтом волны среда сжата до пластического состояния ( $\epsilon_1^0 \leq \epsilon_1^C$ ), то в ней реализуется пластическая ударная волна, характерная для обычной упругопластической среды [15]. Уравнение (2.2) принимает вид

$$v_1 = -c_f(\epsilon_1 - \epsilon_1^0),$$

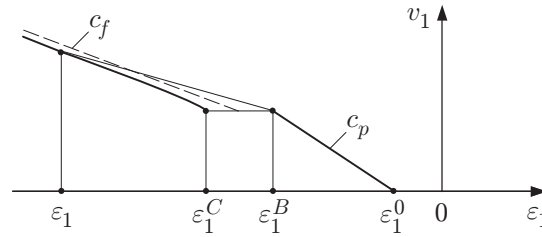
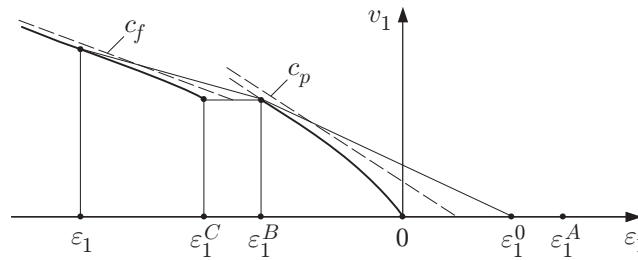
где  $c_f = \sqrt{k/\rho}$  — скорость пластических ударных волн. На плоскости  $(\epsilon_1, v_1)$  ударная адиабата имеет вид луча, выходящего из точки  $\epsilon_1^0$ . При  $\epsilon_1^C < \epsilon_1^0 < \epsilon_1^B$  ударная адиабата описывается следующим из (2.2) уравнением гиперболы

$$(v_1/c_f)^2 = (\epsilon_1 - \epsilon_1^C)(\epsilon_1 - \epsilon_1^0). \tag{2.4}$$

Такая волна возникает, только если  $\epsilon_1 < \epsilon_1^C$  (рис. 4). Это волна уплотнения среды, утратившей несущую способность в момент перехода гранул в пластическое состояние. Ее скорость вычисляется по формуле

$$c = c_f \sqrt{(\epsilon_1 - \epsilon_1^C)/(\epsilon_1 - \epsilon_1^0)}. \tag{2.5}$$

Если  $\epsilon_1^B \leq \epsilon_1^0 \leq 0$ , то в зависимости от степени сжатия распространяются одна или две волны (рис. 5). При интенсивном сжатии с  $\epsilon_1 < \epsilon_1^C$  возникает двухволновая конфигурация разрывов: упругий предвестник в разрыхленной среде, движущийся со скоростью

Рис. 5. Ударная адиабата при  $\varepsilon_1^B \leq \varepsilon_1^0 \leq 0$ Рис. 6. Ударная адиабата при  $0 < \varepsilon_1^0 \leq \varepsilon_1^A$ 

$$c_p = \sqrt{(1 + 2\alpha/\sqrt{3})h/\rho},$$

и волна пластического уплотнения, скорость которой определяется по формуле (2.5) после замены  $\varepsilon_1^0$  на  $\varepsilon_1^B$ . Упругий предвестник переводит среду из состояния  $\varepsilon_1^0$  в предельное упругое состояние  $\varepsilon_1^B$ . Его ударная адиабата линейна. Ветвь ударной адиабаты волн пластического уплотнения получается параллельным переносом гиперболы (2.4) вдоль оси  $v_1$  на величину  $v_1^C$ . При слабом сжатии, когда  $\varepsilon_1 \geq \varepsilon_1^B$ , волна пластического уплотнения не возникает. В интервале  $\varepsilon_1^C \leq \varepsilon_1 < \varepsilon_1^B$  несущая способность среды за фронтом упругого предвестника не успевает восстановиться, поэтому пластическая волна превращается в неподвижный контактный разрыв.

Если перед фронтом волны среда разрыхлена ( $\varepsilon_1^0 > 0$ ), то возможны либо уединенный упругий сигнотон

$$(v_1/c_p)^2 = \varepsilon_1(\varepsilon_1 - \varepsilon_1^0), \quad (2.6)$$

либо двухволновая конфигурация упругого сигнотона-предвестника (2.6) с волной пластического уплотнения (2.4) (рис. 6). Следуя принятой терминологии [6], сигнотонем будем называть ударную волну, прохождение которой приводит к мгновенному изменению знака деформации. Графики ударных адиабат (2.6) и (2.4) представляют собой ветви гипербол, асимптоты которых наклонены к оси абсцисс под углами  $\arctg c_p$  и  $\arctg c_f$  соответственно. Асимптота первой адиабаты выходит из точки  $\varepsilon_1^0/2$ . Точка выхода асимптоты второй адиабаты лежит посередине между  $\varepsilon_1^C$  и  $\varepsilon_1^B$ . Такая картина наблюдается только при достаточно малом разрыхлении:  $\varepsilon_1^0 \leq \varepsilon_1^A$ . Превышение критического значения  $\varepsilon_1^A = \Delta\varepsilon_1 + \varepsilon_1^D$  ( $\varepsilon_1^D = 2\tau_s/(\sqrt{3}k)$ ) приводит к опрокидыванию волн интенсивного сжатия, поскольку скорость сигнотона-предвестника становится меньше  $c_f$ . При  $\varepsilon_1^0 > \varepsilon_1^A$  (рис. 7) ударная адиабата состоит из трех ветвей: адиабаты упругих сигнотонов (2.6), адиабаты волн пластического уплотнения (2.4) и адиабаты пластических сигнотонов

$$(v_1/c_f)^2 = (\varepsilon_1 - \varepsilon_1^D)(\varepsilon_1 - \varepsilon_1^0).$$

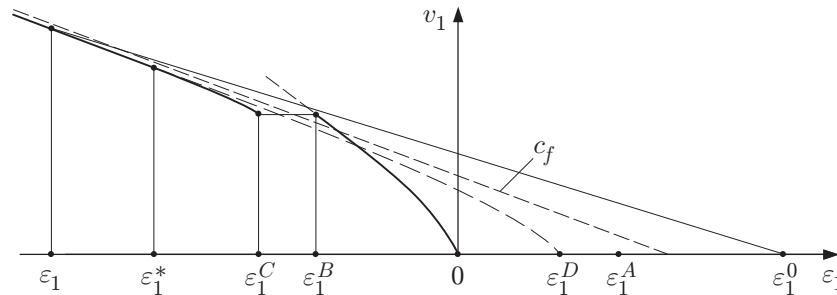


Рис. 7. Ударная адиабата при  $\varepsilon_1^0 > \varepsilon_1^A$

Систему волн при заданном значении  $\varepsilon_1$  легко определить по рис. 3, учитывая, что величина  $\rho c^2$  равна угловому коэффициенту секущей на плоскости  $(\varepsilon_1, \sigma_1)$ . Из рис. 3 следует, что при  $\varepsilon_1^B \leq \varepsilon_1 < 0$  реализуется уединенный упругий сигнотон. Если  $\varepsilon_1^* < \varepsilon_1 < \varepsilon_1^C$ , где

$$\varepsilon_1^* = \frac{\varepsilon_1^0 + (2\alpha/\sqrt{3})\varepsilon_1^B}{\varepsilon_1^0 - \varepsilon_1^A} \varepsilon_1^C -$$

деформация в точке пересечения луча, выходящего из начального состояния в состояние  $B$ , с графиком функции  $\sigma_1(\varepsilon_1)$ , то вслед за упругим сигнотонном распространяется волна пластического уплотнения. При деформации  $\varepsilon_1 = \varepsilon_1^*$  скорости этих волн становятся равными. Если  $\varepsilon_1 < \varepsilon_1^*$ , то ударно-волновой переход описывается уединенным пластическим сигнотонном.

В отличие от [10] в данной работе рассмотрен более сложный вариант задания параметров среды, определяющий модель, в которой появляются волны пластического уплотнения. Еще более сложная картина возникает при  $\alpha > \sqrt{3}/2$ , когда среда может оказывать сопротивление одноосному растяжению, проявляя упругие и пластические свойства. Этот случай требует дополнительного изучения.

### ЛИТЕРАТУРА

1. Хаар А., Карман Т. К теории напряженных состояний в пластических и сыпучих средах // Теория пластичности. М.: Изд-во иностр. лит., 1948. С. 41–56.
2. Голованов Ю. В., Ширко И. В. Обзор современного состояния механики быстрых движений гранулированных материалов // Механика гранулированных сред: Теория быстрых движений. Сер. Новое в зарубежной науке. 1985. Вып. 36. С. 271–279.
3. Соколовский В. В. Статика сыпучей среды. М.: Физматгиз, 1960.
4. Drucker D. C., Prager W. Soil mechanics and plastic analysis or limit design // Quart. Appl. Math. 1952. V. 10. P. 157–165.
5. Мруз З., Шиманский Ч. Неассоциированный закон течения в описании пластического течения гранулированных сред // Механика гранулированных сред: Теория быстрых движений. Сер. Новое в зарубежной науке. 1985. Вып. 36. С. 9–43.
6. Маслов В. П., Мосолов П. П. Общая теория решений уравнения движения разномодульной упругой среды // Прикл. математика и механика. 1985. Т. 49, вып. 3. С. 419–437.
7. Маслов В. П., Мясников В. П., Данилов В. Г. Математическое моделирование аварийного блока Чернобыльской АЭС. М.: Наука, 1988.
8. Григорян С. С. Об основных представлениях динамики грунтов // Прикл. математика и механика. 1960. Т. 24, вып. 6. С. 1057–1072.



9. **Николаевский В. Н.** Определяющие уравнения пластического деформирования сыпучей среды // Прикл. математика и механика. 1971. Т. 35, вып. 6. С. 1070–1082.
10. **Садовский В. М.** К теории распространения упругопластических волн в сыпучих средах // Докл. РАН. 2002. Т. 386, № 4. С. 487–489.
11. **Мосолов П. П., Мясников В. П.** Механика жесткопластических сред. М.: Наука, 1981.
12. **Алексеев В. М., Тихомиров В. М., Фомин С. В.** Оптимальное управление. М.: Наука, 1979.
13. **Быковцев Г. И., Ивлев Д. Д.** Теория пластичности. Владивосток: Дальнаука, 1998.
14. **Седов Л. И.** Механика сплошной среды. М.: Наука, 1976. Т. 2.
15. **Садовский В. М.** Разрывные решения в задачах динамики упругопластических сред. М.: Наука, 1997.

*Поступила в редакцию 23/XII 2002 г.,  
в окончательном варианте — 3/III 2003 г.*

---